

# 3~5 μm 波段铅盐二极管激光器

朱筱春 王海龙 曹根娣 张位在

(中国科学院上海光机所, 上海 201800)

**摘要** 用水平无籽晶气相生长技术、自扩散和台面条形结构制成了直到 162 K 脉冲运转的  $\text{Pb}_{0.97}\text{Cd}_{0.03}\text{S}_{0.9}\text{Se}_{0.1}$  二极管激光器和 28 K 下 CW 运转的  $\text{PbS}_{0.53}\text{Se}_{0.47}$  二极管激光器。其发射波长分别为 3.22 μm 和 5.53 μm, 脉冲和 CW 运转最低阈值电流密度分别为 143 A/cm<sup>2</sup> 和 41 A/cm<sup>2</sup>。

**关键词** 铅—盐, 二极管激光器

## Lead-salt diode laser at 3~5 μm wavelength region

Zhu Xiaochun, Wang Hailong, Cao Gendi, Zhang Weizai

(Shanghai Institute of Optics and Fine Mechanics, Academia Sinica, Shanghai 201800)

**Abstract** A  $\text{Pb}_{0.97}\text{Cd}_{0.03}\text{S}_{0.9}\text{Se}_{0.1}$  diode laser with pulsed operation at up to a temperature of 162 K and a  $\text{PbS}_{0.53}\text{Se}_{0.47}$  diode laser with CW operation at 28 K have been fabricated by a horizontal unseeded vapor growth technique, self diffusion and mesa stripe-geometry. Their emission wavelengths are 3.22 μm and 5.53 μm respectively. In pulsed operation and CW operation the threshold current density are as low as 143 A/cm<sup>2</sup> and 41 A/cm<sup>2</sup> at 12 K respectively.

**Key words** lead-salt, diode laser

## 1 引言

近年发展起来的氟化物玻璃光纤是一种用于光通讯的新型光缆, 预期损耗比石英光纤低 1~2 个数量级, 最低损耗波长在 2~5 μm 之间, 因此研究在这个波段范围内工作的发射和接收器件是很有意义的。

V-VI 族铅盐化合物  $\text{Pb}_{1-x}\text{Cd}_x\text{S}_{1-y}\text{Se}_y$  和  $\text{PbS}_{1-x}\text{Se}_x$  晶体就是制作 3~5 μm 波段中红外激光器的重要材料。通过改变材料组份, 可获得 3~5 μm 激光输出。R. W. Ralston 等人曾用  $\text{PbS}$ <sup>[1]</sup> 获得 CW 激光输出, 波长为 4.32 μm(20 K), A. R. Calawa<sup>[2]</sup> 等人用  $\text{Pb}_{0.942}\text{Cd}_{0.058}\text{S}$  二极管观察到脉冲受激发射, 波长为 2.5 μm(4.2 K), K. W. Nill 等<sup>[3]</sup> 用  $\text{Pb}_{0.98}\text{Cd}_{0.02}\text{S}$  材料制成 CW 激光器, 发射波长为 3.5 μm(20 K), Koji. Shinohara 等<sup>[4]</sup> 用  $\text{PbS}_{0.6}\text{Se}_{0.4}$  材料制成发射波长为 4.75 μm(77 K), CW 运转的激光器。上述几种组份的铅盐材料制成的同质结激光器, 工作温度较低, 不符合光纤通讯的实用化要求。因此为了提高激光器的工作温度, 我们选择了四元系

PbCdSSe 铅盐材料, 制成了  $3.22 \mu\text{m}$  波段脉冲运转的激光器, 工作温度达到  $162 \text{ K}$ 。同时制成了  $5.53 \mu\text{m}$  波段 CW 工作的  $\text{PbS}_{0.53}\text{Se}_{0.47}$  激光器。这两种铅盐二极管激光器还可用于高分辨率光谱、大气污染监视、毒气控制等。本文主要介绍三元 PbSSe 和四元 PbCdSSe 铅盐晶体生长、激光器制作及器件性能。

## 2 实验

采用曾报道的水平无籽晶气相生长技术<sup>[5]</sup>, 生长了具有低位错密度和合适载流子浓度的  $n$  型单晶。生长的单晶呈分立的块状晶体, 通常为  $\langle 100 \rangle$  取向, 表面平滑如镜。我们用  $10 \text{ ml H}_2\text{O} + 10 \text{ g KOH} + 1 \text{ ml C}_3\text{H}_5\text{O}_3 + 0.5 \text{ ml H}_2\text{O}_2$ <sup>[6]</sup> 溶液腐蚀晶体, 晶体位错密度一般为  $\sim 10^4/\text{cm}^2$ 。采用范德堡法  $77 \text{ K}$  下测量了  $n$  型  $\text{PbS}_{0.53}\text{Se}_{0.47}$  和  $\text{Pb}_{0.97}\text{Cd}_{0.03}\text{S}_{0.9}\text{Se}_{0.1}$  单晶载流子浓度均为  $\sim 2 \times 10^{18}/\text{cm}^3$ 。

根据同一单晶片各部位制作的激光器光谱测量表明, 单晶组份是均匀的。同时由光谱测量可检验单晶组份,  $\text{PbS}_{0.53}\text{Se}_{0.47}$  和  $\text{Pb}_{0.97}\text{Cd}_{0.03}\text{S}_{0.9}\text{Se}_{0.1}$  激光器发射波长分别为  $5.53 \mu\text{m}$  ( $28 \text{ K}$ ) 和  $3.22$  ( $12 \text{ K}$ ), 根据禁带宽度 ( $E$ ) 与组份 ( $x, y$ )、温度 ( $T$ ) 的关系, 可分别计算出这二种晶体材料的组份。对于  $\text{PbS}_{1-x}\text{Se}_x$  三元晶体:

$$E = 264.5 - 140x + (400 + 0.265T^2)^{1/2} \text{ mev}^{[7]} \quad (1)$$

对于  $\text{Pb}_{1-x}\text{Cd}_x\text{S}_{1-y}\text{Se}_y$  四元晶体, 根据经验, 将文献[8]中用于三元  $\text{Pb}_{1-x}\text{Cd}_x\text{S}$  的带宽公式修正为

$$E = 264.5 + 3600x - 140y + (400 + 0.265T^2)^{1/2} \text{ mev} \quad (2)$$

接着(1)、(2)式计算, 可分别得到  $x = 0.464$  和  $x = 0.0315$  ( $y = 0.1$ ), 基本与我们设计的组份 ( $x = 0.47$  和  $x = 0.03$ ) 相吻合。表明激光晶体质量是好的。

生长的  $n$ - $\text{PbS}_{0.53}\text{Se}_{0.47}$  和  $\text{Pb}_{0.97}\text{Cd}_{0.03}\text{S}_{0.9}\text{Se}_{0.1}$

块状单晶不需切、磨、抛等工艺, 可直接用  $\text{Pb}_{0.49}$  ( $\text{S}_{0.53}\text{Se}_{0.47}$ )<sub>0.51</sub> 和  $\text{Pb}_{0.49}\text{S}_{0.51}$  作扩散源,  $600 \text{ }^\circ\text{C}$  温度自扩散 4 min, 形成 S 富 P 型表面层, 结深分别为  $\sim 12 \mu\text{m}$  和  $\sim 30 \mu\text{m}$ , 扩散后晶体减薄到  $\sim 200 \mu\text{m}$ 。再用标准光刻技术和选择腐蚀技术制成如图 1 所示台面条形结构, 台面上开出  $10 \sim 20 \mu\text{m}$  窗口作 P 侧接触,  $n$  侧和 P 侧同时电镀 Au、In 得到较好的欧姆接触。最后将芯片解理成约  $500 \mu\text{m}$  长的管芯, 装在特制的镀 In 管座上。

## 3 结果与讨论

$77 \text{ K}$  下测量了二极管的  $I-V$  特性, 如图 2 所示, 由曲线的线性段斜率可得到串联电阻分别为  $\sim 120 \text{ m}\Omega$  和  $\sim 500 \text{ m}\Omega$ 。根据二极管的串联电阻、导通电压等参数, 可初步分析二极管的质量。然后将二极管安装在氮气循环的致冷机中, 进行激光特性测试。 $\text{Pb}_{0.97}\text{Cd}_{0.03}\text{S}_{0.9}\text{Se}_{0.1}$  二极管用重复频率  $10 \text{ kC}$ , 脉宽为  $2 \mu\text{s}$  的脉冲电源驱动, 激光输出用液氮致冷的 HgCdTe 探测器接收。图 3 为该激光器不同温度下典型的  $I-L$  特性曲线, 由图给出  $12 \text{ K}$  下阈值电流为  $250 \text{ mA}$ 。在  $12 \sim 160 \text{ K}$  范围内测量了脉冲工作下激光器阈值电流与温度的关系, 图 4 表示测量的阈值电流的典型数据, 阈值电流与温度的关系用  $I(T) \propto \exp(T/T_0)$  表示, 在  $12 \text{ K} \sim 90 \text{ K}$  范围内, 阈值电流随温度变化较缓慢, 特征温度  $T_0 = 90 \text{ K}$ , 在  $110 \text{ K} \sim 160 \text{ K}$  温度范围, 阈值电流随温度变

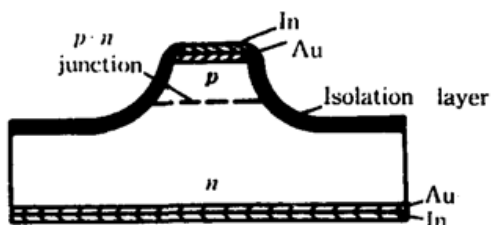
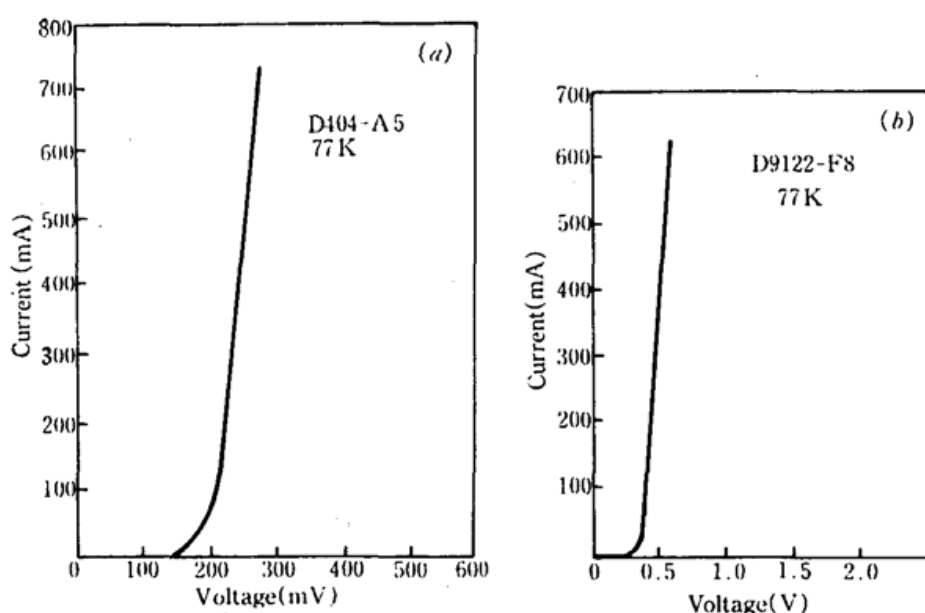


Fig. 1 Schematic structure of etched mesa diode laser

Fig. 2  $I$ - $V$  characteristics at 77 K(a)  $\text{PbS}_{0.53}\text{Se}_{0.47}$  diode laser; (b)  $\text{Pb}_{0.97}\text{Cd}_{0.03}\text{S}_{0.9}\text{Se}_{0.1}$  diode laser

化较快,特征温度  $T_0 = 69 \text{ K}$ 。最好的器件运转温度达到  $162 \text{ K}$ 。 $540 \text{ mA}$  脉冲电流、 $12 \text{ K}$  下受激发射光谱示于图 5,峰值波长为  $3.22 \mu\text{m}$ 。

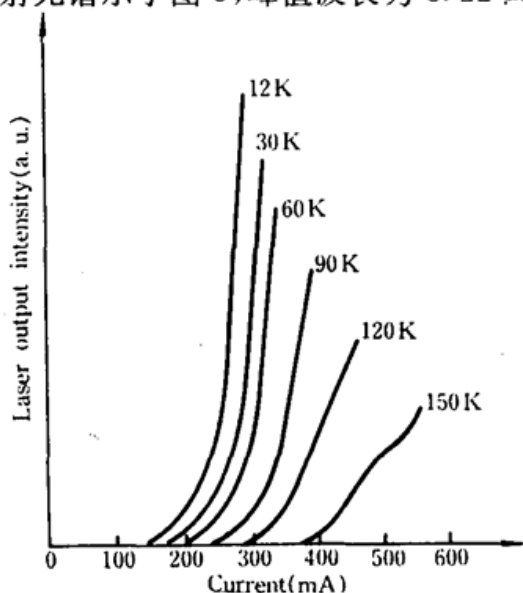


Fig. 3 Light intensity vs current of a typical  $\text{Pb}_{0.97}\text{Cd}_{0.03}\text{S}_{0.9}\text{Se}_{0.1}$  diode laser at different temperatures

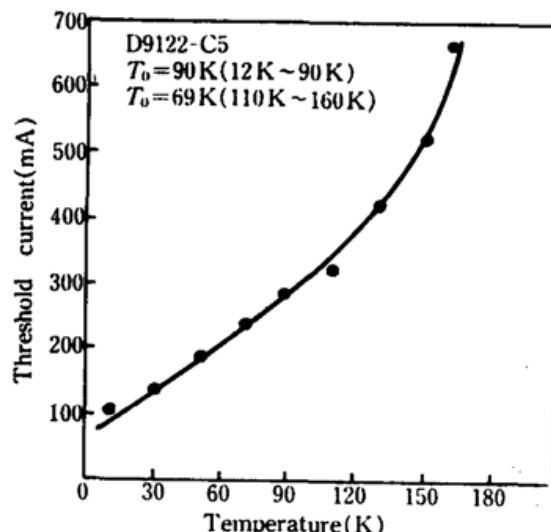


Fig. 4 Threshold current vs temperature for  $\text{Pb}_{0.97}\text{Cd}_{0.03}\text{S}_{0.9}\text{Se}_{0.1}$  laser at temperature ranging from  $12 \text{ K}$  to  $162 \text{ K}$

$\text{PbS}_{0.53}\text{Se}_{0.47}$  二极管激光器采用台面条形结构获得了 CW 激光输出,  $12 \text{ K}$  下连续阈值电流密度为  $41 \text{ A/cm}^2$ , 最高运转温度为  $28 \text{ K}$ 。图 6 为该激光器典型的温度调谐和电流调谐光谱, 温度调谐率为  $\sim 3 \text{ cm}^{-1}/\text{K}$ ,  $12 \text{ K}$  下电流调谐率为  $\sim 0.05 \text{ cm}^{-1}/\text{mA}$ , 光谱可调谐范围为  $30 \text{ cm}^{-1}$ , 中心波长为  $5.53 \mu\text{m}$  ( $28 \text{ K}$ )。

由于硫化物铅盐材料热导性能较差(热导率为  $0.02 \text{ W/cm} \cdot \text{K}$ ), 限制了这种同质结激光器只能在较低温度下工作。如果在扩散同质结中引入载流子浓度梯度<sup>[9,10]</sup>, 或用组份内扩散(CID)法制成 SH、DH 结构<sup>[11,12]</sup>, 或用 MBE 制成 DH 结构<sup>[13]</sup>, 并进一步改善欧姆接触和散热条件, 可实现高温下连续运转。

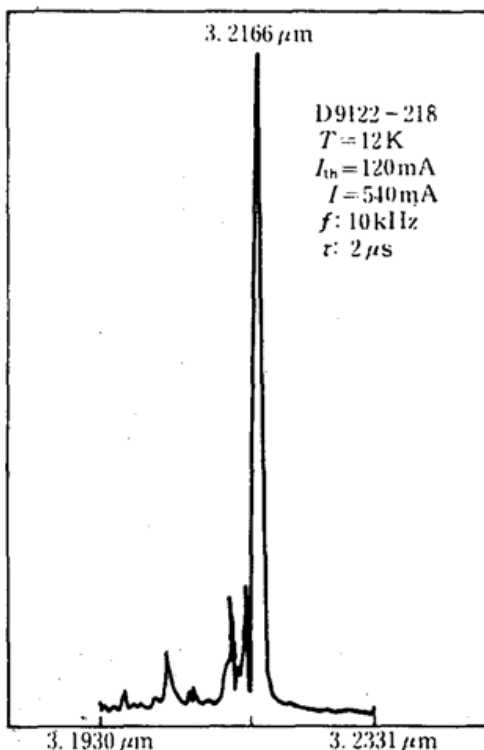


Fig. 5 Emission spectrum of a typical  $\text{Pb}_{0.97}\text{Cd}_{0.03}\text{S}_{0.9}\text{Se}_{0.1}$  diode laser (pulsed operation) at 12 K

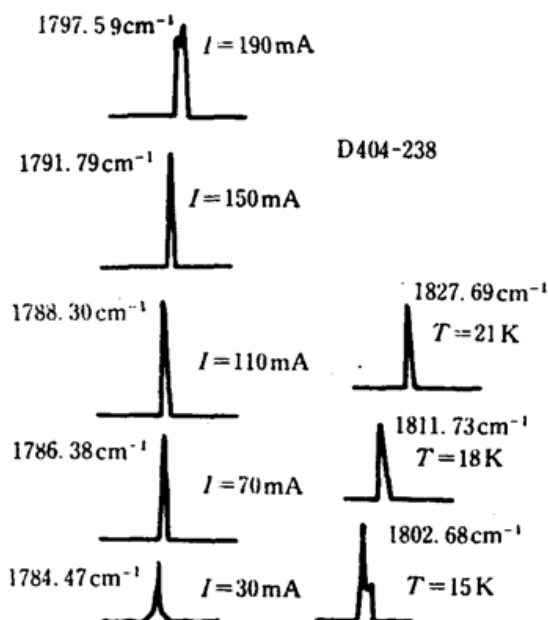


Fig. 6 Current-tuning spectra and temperature-tuning spectra of a typical  $\text{PbS}_{0.53}\text{Se}_{0.47}$  diode laser

本实验载流子浓度是由上海技术物理所一室唐荷珍同志测试的,在此表示感谢。

## 参 考 文 献

- 1 R. W. Ralston *et al.*, *J. Appl. Phys.*, **45**, 1323(1974)
- 2 A. R. Calawa *et al.*, *J. Electr. Mater.*, **1**, 191(1972)
- 3 K. K. Nill *et al.*, *Appl. Phys. Lett.*, **22**, 677(1973)
- 4 Koji Shinohara *et al.*, *Japan J. Appl. Phys.*, **20**, 779(1981)
- 5 朱筱春 *et al.*, *中国激光*, **12**(1), 515(1971)
- 6 Osamu Ohtsuki *et al.*, *Japan J. Appl. Phys.*, **10**, 515(1971)
- 7 Band parameters for these expressions were taken from: G. Appold, R. Grisar *et al.*, Proc. 14th Inten. Conf. Phys. Semicond., Edinburgh (1978) Inten. Phys. Conf. Ser. No. 43, 1101(1979)
- 8 Kurt J. Linden, Arlan W. Mantz, *SPIE*, **320**(11), 109(1982)
- 9 Wayne Lo, *IEEE J. Quant. Electr.*, **QE-13**, 591(1977)
- 10 Wayne Lo, Don E. Swets, *Appl. Phys. Lett.*, **33**, 938(1978)
- 11 F. J. Bryant, A. Qadeer, *J. Appl. Phys.*, **55**, 60(1984)
- 12 Prof. F. J. Bryant *et al.*, *Solid-State and Electr. Devices*, **131**, 113(1984)
- 13 N. Koguchi *et al.*, *J. of Crystal Growth*, **81**, 400(1987)